



Instituto Tecnológico de Aeronáutica

Relatório da disciplina CM-202: Planejamento e Controle para Robótica Móvel

Laboratório 2: Planejamento de Caminho com RRT

Guilherme Müller Bertolino

1. Introdução

A *Rapidly-Exploring Random Tree* (RRT) é uma técnica de planejamento de caminho baseado em amostragem que constrói uma árvore a partir de amostragem aleatória do espaço livre. Esse método garantidamente não encontra o caminho ótimo, mas opera com bom custo computacional, especialmente para espaços de dimensões maiores. O método também é probabilisticamente completo, isto é, a probabilidade de encontrar um caminho factível tende a 1 quando o número de amostras tende ao infinito, mas não é capaz de melhorar a primeira solução encontrada, isso, entretanto, pode ser resolvido usando uma extensão desse método, o RRT*.

2. Metodologia

A implementação da RRT foi feita em *Matlab*, e um pseudocódigo do algoritmo é apresentado na Figura 1.

RRT

```
def rrt(start, goal):  
    tree = Tree()  
    tree.insert(start, None)  
    while not check_stopping_condition():  
        if random_uniform() < goal_bias_probability:  
            random_node = goal  
        else:  
            random_node = sample_space()  
            nearest = tree.find_nearest(random_node)  
            new_node = nearest.extend(random_node, delta)  
            if collision_free(nearest, new_node):  
                tree.insert(new_node, nearest)
```

Figura 1: Pseudocódigo do algoritmo da RRT.

A operação `extend` consiste em adicionar o nó a árvore caso ele esteja próximo suficiente e, caso contrário, adiciona-se um nó a uma distância Δ do nó mais próximo e contido na reta ligando o nó mais próximo ao nó amostrado:

$$q_{new} = \begin{cases} q_{rand}, & ||q_{rand} - q_{nearest}|| \leq \Delta \\ q_{nearest} + \Delta(q_{rand} - q_{nearest})/||q_{rand} - q_{nearest}||, & ||q_{rand} - q_{nearest}|| > \Delta \end{cases}$$

Na implementação feita, os obstáculos são todos circulares, de modo que para verificar se houve colisão basta checar se o ponto está a uma distância menor do que o raio do obstáculo. A amostragem do espaço livre é feita por *reject sampling*, isto é, amostra-se um ponto aleatório e descarta-se ele caso esteja dentro de um obstáculo, o processo é repetido até que se obtenha um ponto do espaço livre.

3. Resultados

Para teste da implementação feita, foram utilizados quatro cenários:

$$a : q_0 = [1 \ 1]^T, q_{goal} = [9 \ 9]^T \chi_{obs} = \{([5 \ 5]^T, 1)\}$$

$$b : q_0 = [1 \ 9]^T, q_{goal} = [9 \ 1]^T \chi_{obs} = \{([5 \ 5]^T, 1), ([3 \ 3]^T, 1), ([7 \ 7]^T, 1)\}$$

$$c : q_0 = [1 \ 9]^T, q_{goal} = [9 \ 1]^T \chi_{obs} = \{([4 \ 4]^T, 1), ([4 \ 6]^T, 1), ([6 \ 4]^T, 1), ([6 \ 6]^T, 1)\}$$

$$d : q_0 = [9 \ 9]^T, q_{goal} = [9 \ 1]^T \chi_{obs} = \{([1 \ 5]^T, 0.8), ([3 \ 5]^T, 1.05), ([5 \ 5]^T, 1.05), ([7 \ 5]^T, 1.05), ([9 \ 5]^T, 1.05)\}$$

3.1. planPathRRT

O caso *a* foi executado utilizando diferentes probabilidades para o viés em direção ao objetivo, para cada valor.

Para as probabilidades de $p = \{0.01; 0.1; 0.9\}$, uma iteração qualquer dos métodos obtiveram os caminhos apresentados nas Figuras 2, 3 e 4.

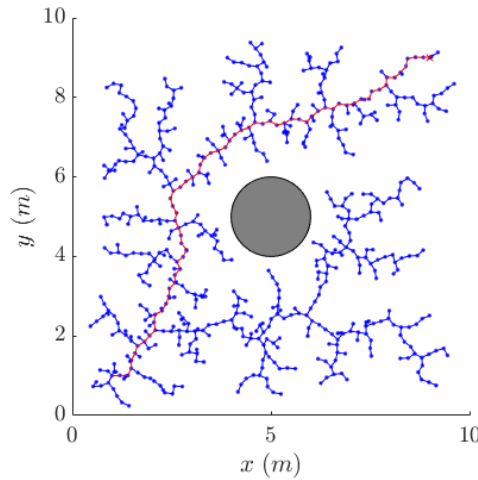


Figura 2: Caminho encontrado no caso 'a' com viés para o objetivo de 0.01.

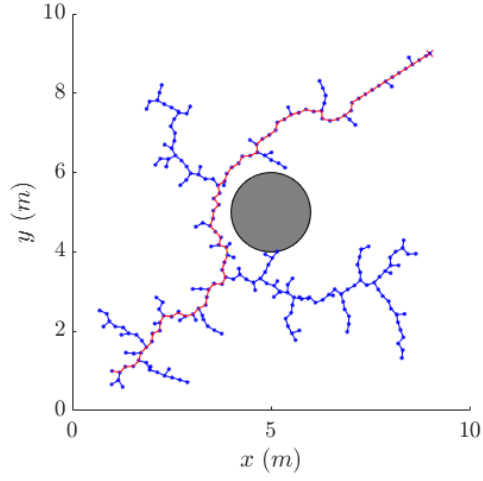


Figura 3: Caminho encontrado no caso 'a' com viés para o objetivo de 0.1.

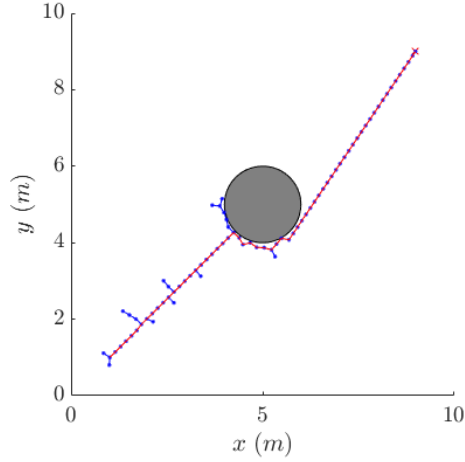
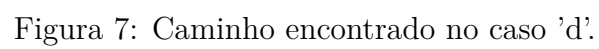
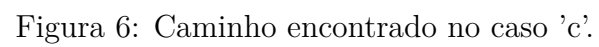
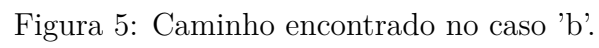


Figura 4: Caminho encontrado no caso 'a' com viés para o objetivo de 0.9.

A partir das Figuras, observa-se que quanto menor o viés para o objetivo, mais explorado é o espaço, conforme o esperado. Como, neste caso, o espaço só possui um obstáculo central, também temos que quanto maior o viés para o objetivo, mais próximo do ótimo será o caminho encontrado, conforme observado nas Figuras.

3.2. Análise 2

Utilizando um viés para o objetivo de 0.1, foram executados os casos *b*, *c* e *d*, de forma a obter as Figuras 5, 6 e 7.



Para todos os casos apresentados, observa-se que o RRT foi capaz de encontrar com sucesso um caminho factível através do espaço, mesmo com muitos obstáculos no caminho, apesar deles estarem bem longe de serem ótimos e serem bastante diferentes para cada vez que se roda o método.

3.3. MonteCarloRRT

Os casos a , b , c e d foram rodados 200 vezes em um método de Monte Carlo para obter valores como caminho médio e número médio de iterações, de forma a obter os resultados apresentados na Tabela 1.

| Caso | % de sucesso | Caminho médio | Nº médio de iterações |
|------|--------------|---------------|-----------------------|
| a | 100% | 13.877 | 238.635 |
| b | 100% | 13.853 | 258.040 |
| c | 100% | 14.911 | 296.835 |
| d | 72.5% | 21.412 | 763.170 |

Tabela 1: Parâmetros obtidos fazendo um Monte Carlo nos quatro casos.

Na Tabela apresentada, não observa-se nada muito interessante nos casos a , b e c , dado que a RRT conseguiu encontrar um caminho em 100% dos casos, e os três obtiveram um número semelhante para caminho médio e número de iterações. Para o caso d , entretanto, o método não foi capaz de encontrar um caminho com menos de 1000 iterações para quase 30% das tentativas, o que é esperado, já que esse cenário é de fato o mais difícil.